

شبیه سازی عناصر نادر خاکی سریوم و لانتانیوم موجود در رسوبات آبراهه ای منطقه اشتهراد با استفاده از روش

شبکه عصبی

فاطمه رضوی راد

دانشجوی دکتری، دانشکده مهندسی معدن و متالورژی، دانشگاه یزد

امیرحسین کوهساری

دانشیار، دانشکده مهندسی معدن و متالورژی، دانشگاه یزد

تاریخ پذیرش: ۹۲/۱۲/۱۸ تاریخ دریافت: ۹۲/۰۸/۱

Frazavi@stu.Yazd.ac.ir

چکیده

روش شبکه عصبی مصنوعی که یک روش پیشرفتی است که در برآورد سیستم‌های دینامیک و غیرخطی موثر است. اخیراً استفاده از شبکه‌های عصبی مصنوعی و روش‌های آماری چند متغیره در موضوعات مهم زیست‌محیطی مانند آلودگی خاک‌ها و آبهای سطحی به انواع مختلف عنصر سمی رواج یافته است که در این مورد می‌توان به ارائه‌ی مدلی بر اساس شبکه عصبی برای شبیه‌سازی عناصر نادر خاکی پرداخت. با توجه به اهمیت عناصر نادر خاکی مخصوصاً سریوم و لانتانیوم، این مطالعه با استفاده از روش شبکه عصبی به پیش‌بینی میزان این عناصر در منطقه‌ی اشتهراد می‌پردازد. روش انتخاب پیشرو (Forward Selection) به منظور انتخاب متغیرهای ورودی موثر بر روی پیش‌بینی مقادیر عناصر لانتانیوم و سریوم و کاهش تعداد کل متغیرها استفاده شد. از تعداد ۴۵ متغیر ورودی کدام از عناصر لانتانیوم و سریوم، ۲۳ متغیر موثر بر روی پیش‌بینی مقادیر این عناصر توسط روش انتخاب پیشرو انتخاب شدند. با توجه به مقادیر ضریب همبستگی (R^2)، هر دو مدل (شبکه عصبی و انتخاب پیشرو) برای پیش‌بینی مقادیر لانتانیوم و سریوم در منطقه مناسب هستند. اما روش انتخاب پیشرو مناسب‌تر است، زیرا مقادیر ضریب همبستگی روش انتخاب پیشرو برای پیش‌بینی لانتانیوم و سریوم بالاتر از روش شبکه عصبی است. همچنین در این مطالعه نشان داده شده است که مدل انتخاب پیشرو در پیش‌بینی مقادیر لانتانیوم و سریوم به دلیل کاهش زمان محاسبات در نتیجه‌ی تعداد متغیرهای ورودی کمتر مناسب‌تر است.

کلمات کلیدی: شبکه عصبی مصنوعی، روش انتخاب پیشرو، عناصر نادر خاکی

مقدمه

فازی به صورت موفقیت آمیز برای مدل‌سازی عناصر نادر خاکی در مناطق مختلف، مدل‌سازی آلودگی‌ها و پیش‌بینی پدیده‌های غیرخطی استفاده شده است (Nunnari et al, 2004; Perez-Roaa et al, 2006).

با عنایت به توانایی بالای شبکه‌های عصبی مصنوعی در مدل‌سازی، برآورد فرایندهای پیچیده و بهین هسازی مسائل مختلف مهندسی، این فرضیه مطرح می‌شود که شبکه عصبی مصنوعی می‌تواند با دقت مناسبی مقادیر عناصر نادر خاکی موجود در رسوبات آبراهه ای منطقه ای اشتهراد را شبیه‌سازی کند.

در مدل‌های شبکه عصبی مصنوعی با افزایش تعداد متغیرهای ورودی، پیچیدگی محاسباتی و حافظه مورد نیاز مدل به سرعت افزایش یافته و آموزش مدل مشکل و ناکارآمد می‌شود. همچنین در مدل‌سازی پدیده‌های گذرا با استفاده از این مدل‌ها نیاز به عمل پیش‌پردازش بر روی اطلاعات ورودی یا خروجی است. با وجود این به دلیل توانایی بالای روش شبکه عصبی مصنوعی در مدل‌سازی پدیده‌های پیچیده و غیرخطی استفاده از آن در سیستم تخمین ذخیره و شبیه-

سازی فلزات مختلف در یک منطقه موفقیت‌آمیز گزارش شده است. انتخاب متغیرهای ورودی یک گام مهم در روش شبکه عصبی و انفیس (ANFIS) است. این تکنیک‌ها برای حذف متغیرهای اضافی طراحی نشده‌اند. در مواردی که تعداد متغیرهای ورودی زیاد باشد، متغیرهای اضافی، بی‌ربط به موضوع ممکن است شامل مجموعه‌ی داده‌ها باشد. متغیرهای معنادار می‌توانند پنهان شده باشند

عناصر نادر خاکی منابع مهم استراتژی هستند، زیرا مصرف و تقاضای این عناصر بالاست، ذخایر آنها دارای توزیع جغرافیایی ناچیزی هستند و منابع آنها رو به پایان است. عناصر نادر خاکی به طور گسترده در زمین توزیع شده و الگوی آنها برای توضیح محیط روسوی، فرایند و ساختار حوضه‌های روسوی به کار برده شده است. عناصر نادر خاکی به عنوان مهم‌ترین ابزار در ترسیم محیط ژئوشیمیایی در طول تشکیل کانی‌های همزاد و پسین زاد استفاده می‌شوند. برای ده ها سال، زمین شناسان عقیده داشتند که عناصر کمیاب حاصل فرایند قوی و موثر بیوژئوشیمیایی هستند، و به خاطر بخش‌های کوچک در فرایند روسوی و حمل و نقل به وجود آمده اند. از طرف دیگر مشکلات محیط زیستی به وجود آمده به خاطر گسترش فعالیت‌های صنعتی و کشاورزی یک موضوع نگران کننده بوده است. بنابراین در سالهای اخیر، محتوا، شکل شیمیایی و سمی بودن عناصر کمیاب در سیستمهای مختلف خاک مورد مطالعه قرار گرفته است. همچنین برخی پژوهشگران اثرات عناصر کمیاب را بر مقدار نیتروژن و فسفر خاک مورد مطالعه قرار داده اند. برخی مطالعات انجام شده در سال‌های اخیر نشان می‌دهد که عناصر کمیاب در هنگام تغیرات شرایط آب و هوایی و هنگام تشکیل خاک متحرک هستند. در سال‌های اخیر روش‌های هوش مصنوعی در بسیاری از رشته‌های علمی به عنوان یکی از روش‌های سنتی آماری ارائه شده است. مطالعات اخیر نشان می‌دهد که مدل‌های هوش مصنوعی مانند روش‌های شبکه عصبی و منطق

واحد $\epsilon_2^{t_2}$ - از توف و لایلی توف پدید آمده است. ریز بالشهای گدازه ای بازیک تیره در زمینه ای توفی و سفید دیده می شود.

واحد $\epsilon_2^{pa_1}$ - یک واحد گدازه ای با ترکیب میانه است که افقهای ایگنیمیریتی در آن یافت می شود. سنگهای این واحد به طور عمده از نوع اندریت تا پیروکسن اندریت اند. در افقهای بالای آن چند لایه بازیک (باالتی) جای گرفته است.

واحد $\epsilon_2^{t_3}$ - این واحد ناپیوسته یا عدسی شکل از نوع توف برش یا لایلی توف است که در زمینه اسیدی این برشهای بالشهای گدازه ای بازیک تیره جای دارد.

واحد $\epsilon_2^{pa_2}$ - بطور عمده در برگیرنده مگاپورفیریک است که در میان آن چند لایه باالتی و نیز ایگنیمیریت قرمز و قهوه ای با ترکیب اندریتی تا داسیتی دیده می شود. در سمت خاور، هسته یک طاقدیس را در کوه قوش گونی و در سمت باختر آن یک ساختمان گنبدی شکل را در کوه جوشالو پدید آورده است.

واحد $\epsilon_2^{ob_1}$ - خاکستری رنگ است و سنگهای پدید آورده آن الیوین باالت، اندریتیک باالت و ایگنیمیریت گدازه با ترکیب داسیتی است.

واحد $\epsilon_2^{pa_1}$ - آغازش با گدازه های حد وسط شیشه ای است و برگیرنده سنگهایی از جنس پیروکسن اندریت پورفیری، الیوین باالت، اندریتیک باالت، ماسه سنگهای ولکانوزنیک خاکستری، ایگنیمیریت با ترکیبی تراکیتی تا اندریتی، باالت، کوارتز لاتیت و هیالو داسیت است.

واحد ϵ_2^{igd} - یک واحد ایگنیمیریت گدازه ای خاکستری رنگ با ترکیب داسیتی است.

واحد $\epsilon_2^{rt_1}$ - یک واحد ناپیوسته با گسترش محدود است، تنها در پایین ترین بخش خاوری منطقه دیده می شود. از توفهای کرم رنگ ریز دانه با ترکیب ریولیتی تا داسیتی و از نوع ویتریک توف پدید آمده است.

واحد ϵ_2^{ap} - یک واحد ناپیوسته با گسترش محدود است، و تنها در سمت خاور پر روی واحد $\epsilon_2^{rt_1}$ جای گرفته است. این واحد از سنگهای اندریت پورفیری تا مگا پورفیری پدید آمده است.

واحد $\epsilon_2^{ob_2}$ - بر روی واحد ϵ_2^{ap} جای گرفته و رنگ آن خاکستری تا خاکستری روشن است. این واحد بطور عمده از الیوین باالت و هیالو الیوین باالت زئولیت دار پدید آمده است.

واحد ϵ_2^{bb} - تیره رنگ وستبر است و از آگلومرا با قلوه های بسیار درشت به قطر ۳۰ سانتیمتر پدید آمده است. همه قلوه ها ترکیب بازیک (باالتی) دارند.

واحد ϵ_2^{bb} - در برگیرنده سنگهای گدازه ای و گدازه های شیشه ای تیره و ایگنیمیریت گدازه خاکستری تا قهوه ای رنگ اندریتی است. سنگهای آن در برگیرنده اندریت، پیروکسن، اندریت ایگنیمیریت گدازه، باالت و هیالو داسیت است.

واحد ϵ_2^b - در برگیرنده دایکهای باالتی است که در واحدهای ایوسن نفوذ کرده است.

الیگوسن

در این زمان توده های نفوذی با ترکیب گرانیتی تا دیوریتی دیده می شود که واحد ایوسن بالایی و میانی را قطع کرده اند.

واحد ϵ_2^0 - از سنگهای آپلیتی با رنگ روشن پدید آمده است. گسترش این واحد در نزدیکی توده بزرگ گرانیتی شمال باختر عباس آباد است.

(Seasholtz and Kowalski, 1993; Noori et al, 2009a) کاهش متغیرهای ورودی توصیه شده است. روش های مختلفی برای کاهش تعداد متغیرهای ورودی مانند روش انتخاب پیشرو (Chen et al, 1989; Wang et al, 2006) و روش تست گاما (GT) (Corcoran et al, 2003;) (Moghaddamnia et al, 2009) وجود دارد.

در این مطالعه، روش انتخاب متغیرهای ورودی با استفاده از تکنیک انتخاب پیشرو به منظور شمیمه سازی مقادیر عناصر نادر خاکی با روش شبکه ای عصبی با کل داده ها مقایسه شده است.

زمین شناسی منطقه ای اشتهراد

در منطقه مورد بررسی سازنده ای کهنه تر از ایوسن دیده نمی شود. واحدهای چینه نگاشتی این ورقه به ترتیب از قدیم به جدید به شرح زیر است (شکل ۱):

ایوسن

ایوسن میانی

ایوسن میانی در منطقه به پنج واحد سنگی تفکیک شده است که عبارتند از: واحد $\epsilon_1^{t_1}$ - سنگهای این واحد در برگیرنده توفهای سبز است که بخشی بزرگ از سنگهایی که این واحد را پدید می آورد ایگنیمیریت و گدازه داسیتی قرمز رنگ اند.

واحد $\epsilon_1^{t_2}$ - واحدی در برگیرنده لایه های توفی کرم رنگ با ترکیب ریولیتی است. توفهای آن گاهی دچار پدیده کائولینی شدن شده اند.

واحد ϵ_1^b - این واحد در برگیرنده یک لایه باالت سیاه رنگ است. گسترش سطحی این لایه بسیار اندک و کم گستره است و در میان توفهای کرم رنگ جای گرفته است.

واحد ϵ_1^1 - شامل لایه های آهکی ناپیوسته عدسی شکل به رنگ کرم و سیاه است. این واحد در بین توفهای کرم رنگ مشاهده می گردد.

واحد ϵ_1^{ig} - این واحد شامل گدازه های داسیتی قرمز رنگ و ایگنیمیریت داسیتی قرمز رنگ است. در بین توفهای سبز به صورت افقی دیده می شود.

ایوسن بالایی

مجموعه سنگهای ایوسن بالایی با رنگ تیره شان به آسانی از سری سبز ایوسن میانی قابل تشخیص است. برخلاف سری سبز میانی که نشان از ولکانیسم زیر دریایی دارد، مجموعه ایوسن بالایی نشان دهنده ولکانیسم قاره ای تا دریایی کم ژرف (ساحلی) است. ایوسن بالایی در منطقه شامل واحدی زیر است:

واحد ϵ_2^{ig} - این واحد بطور عمده از ایگنیمیریت گدازه قهوه ای رنگ با ترکیب اسیدی پدید آمده است. در آن لایه های گدازه ای آندزیتی و تراکیتی نیز دیده می شود.

واحد $\epsilon_2^{t_1}$ - بطور عمده از توفهای با ترکیب ریولیتی پدید آمده که در آن گدازه ریولیتی نیز مشاهده می شود. رنگ این واحد سفید و در بخشهایی اندک به خاکستری می گراید.

واحد ϵ_2^{ta} - به رنگ قهوه ای تیره تا سیاه است و از گدازه های اندزیتی، لاتیتی و باالتی پدید آمده است.

طراحی یاد شده با بررسی و شناخت حوضه های آبریزو شبکه آبراهه ها و با هدف نمونه برداری از رسوبات رودخانه ای انجام می گیرد. در پژوهش حاضر نخست با بررسی نقشه های توپوگرافی ۱:۵۰.۰۰۰ منطقه محدوده حوضه های آبریز بررسی و سیستم آبراهه ها تکمیل گردید. سپس با استفاده از نقشه زمین شناسی منطقه، با در نظر گرفتن واحدهای سنگی مستعد کانی سازی، توده های نفوذی، همبری های مهم، سیستمهای گسلی، معادن قدیمی و فعل و ... و همچنین با استفاده از نقشه ژئو مغناطیسی هواجی و بررسی وضعیت جغرافیای منطقه، راههای دسترسی و با توجه به زمان و بودجه پروژه، امر طراحی نمونه ها در ورقه انجام می شود. پس از طراحی نمونه ها روی نقشه های توپوگرافی مربوطه، این نقشه به منظور رقومی شدن محل نمونه ها و آبراهه ها، جاده ها، روستاهای اسکن شدن و لیست نمونه ها تهیه و در اختیار گروههای صحرایی قرار گرفت. مختصات دقیق هر نمونه همراه با نقشه های نمونه برداری و دستگاه GPS کمک شایانی در تسهیل امر نمونه برداری می کنند. بطور کلی چگالی نمونه ها در ورقه اشتبارد با توجه به وضعیت رخمنوتها سنگی آن به تقریب یک نمونه ژئوشیمیایی برای $\frac{3}{4}$ کیلومتر مربع در کل 357 نمونه است. گروههای نمونه بردار با استفاده از نقشه توپوگرافی و مختصات نقاط ثبت شده در دستگاه موقعیت یاب جهانی (GPS)، نمونه ها را برداشت کردند. نمونه ها پس از مرحله آماده سازی صحرایی در کیسه های مناسب ریخته و شماره آنها به صورت برچسب بروی نمونه ها ثبت می شود. لیست نمونه های برداشت شده در پایان هر روز در محل کمب صحرایی کنترل و به نقشه های اصلی پیشرفت کار منتقل می شوند. نمونه برداری ژئوشیمیایی از بستر رودخانه برداشت شده است نمونه های در معرض هوا خشک شدن سپس از الک $1/18$ میلی متر عبور داده شده اند. تعداد استگاههای نمونه برداری 357 عدد است. وزن نمونه های حدود 300 گرم است. آماده سازی نمونه های با فرایند خردایش آغاز شده است. نمونه های پس از کنترل نهایی شماره همراه با لیست مربوطه برای آنالیز به آزمایشگاه ارسال می شود. سیر آماده سازی نمونه های با خردایش آغاز و با پودر کردن نمونه های تا قطر 200 مش ادامه می یابد. نمونه های پس از همگن شده ای از آنها به صورت باگانی ذخیره می شود. نوع و تعیین روش آنالیز و عناصر مورد درخواست به گسترش واحدهای سنگی گوناگون، نوع کانی سازی موجود در ناحیه مورد مطالعه و دیگر عوامل بستگی دارد. الگوهای متدائل در تجزیه شیمیایی عناصر را امروزه روش های اسپکترومتری جذب اتمی، کالوریمتری، اسپکتروگراف تابشی و فلورسانس اشعه X تشکیل می دهند. در طرح اکتشافات ژئوشیمیایی ناحیه ای در ورقه 0.000 ، $1:100$ اشتبارد، نمونه های پس از عبور از الک $1/18$ میلی متر، پودر شدن (۷۴ میلی متر)، پس از آماده سازی نمونه های، این نمونه های برای 45 عنصر توسط شرکت توسعه علوم زمین مورد آنالیز قرار گرفته اند که روش آنالیز در مورد عنصر طلا برای مقادیر بالا جذب اتمی و برای مقادیر پایین اسپکتروگراف نشی، برای عنصر قلع فلورسانس اشعه X و برای بقیه عناصر روش ICP-OES بوده است. برای مقادیر بالای طلا، از روش اسپکترومتری جذب اتمی و برای مقادیر پایین از روش اسپکترومتری نشری استفاده شده است.

واحد^۸- در برگیرنده توده گرانیتی است. این توده ها تا اندازه ای دگرگونگی و آلتراسیون مجاورتی در اطراف خود پدید آورده اند. این توده ها در بخش های اؤسن بالای نفوذ کرده اند.

واحد^۹- این واحد شامل توده دیوریتی است. این دیوریت ها به نسبت درشت بلوراند. این توده ها دگرسانی ناچیزی در پیرامون خود پدید آورده اند. ولی کانی سازی و دگرگونی چشم گیری را در پیرامون خود موجب نشده اند. این توده ها در مجموعه اؤسن میانی نفوذ کرده اند.

نئوژن

نئوژن در منطقه با نهشته های تخریبی - تبخیری قرمز رنگی آغاز می شود که بگونه ای دگرشیب بر روی واحدهای ولکانیک اؤسن جای می گیرد. این نهشته ها، به گمان، هم ارز سازند قرمز رنگی نازک لایه ای اند. نهشته های نئوژن در منطقه به واحدهای زیر تفکیک شده است.

واحد M^{msl} - در برگیرنده مارن قرمز رنگ با میان لایه های ژیپس و نمک، ماسه سنگ و سیلستون سبز و سنگ های آهکی نازک لایه است. این واحد بگونه ای دگرشیب بروی ولکانیکهای اؤسن جای می گیرد.

واحد M^{mg} - در برگیرنده شیل و مارن خاکستری با میان لایه های ژیپس است. این واحد که بخشی از نهشته های نئوژن است بروی آبرفت های عهد حاضر Q^{12} رانده شده است و قاعده آن معلوم نیست.

واحد M^{rsh} - بگونه ای همشیب بر روی واحد M^{mg} جای گرفته و در برگیرنده مارن و شیل قرمز با میان لایه های ژیپس و نمک است.

واحد M^{sh} - بروی واحد M^{rsh} به گونه ای همشیب جای گرفته و بطور عمده در برگیرنده شیل قرمز است.

واحد $M^{sh.sl}$ - بگونه ای همشیب بروی واحد M^{sh} جای گرفته و در برگیرنده تناوبی از لایه های شیلی قرمز و نمک است.

واحد M^{sg} - بگونه ای همشیب بروی واحد $M^{sh.sl}$ جای گرفته و شامل تناوبی از ماسه سنگ کرم تا خاکستری و لایه های ژیپس است.

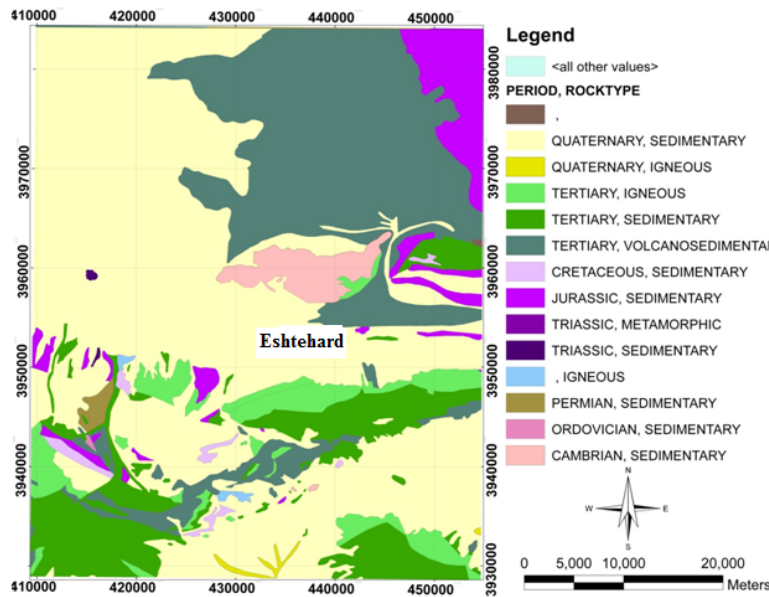
واحد M^s - این واحد بگونه ای همشیب بروی واحد M^{sg} جای گرفته و ماسه سنگ های کرم تا قهوه ای است.

واحد M^m - این واحد بطور همشیب بروی واحد M^s جای گرفته و در برگیرنده تناوبی از مارن کرم تا خاکستری با میان لایه های مارن قهوه ای همراه با قلوه و شن است.

پلیو - کواترنر

واحد^{۱۰}- PLQ - با دگرشیبی به نسبت زیاد بروی نهشته های رسوبی نئوژن جای گرفته و بطور عمده در برگیرنده کنگلومرا سخت نشده تا کمی سیمانی شده است. جنس قلوه های این کنگلومرا بطور عمده سنگ های ولکانیک اؤسن و نیز سنگ های گرانیتی الیگو سن است که میان لایه های از ماسه، سیلت و رس در آن دیده می شود.

نمونه برداری و آنالیز های شیمیایی یکی از مراحل مهم و اساسی هر فاز اکتشافی طراحی نقاط نمونه برداری است که بعنوان اساس و پایه کار بایستی بدون خطأ و با کمترین خطأ صورت گیرد.



شکل ۱. نقشه‌ی زمین‌شناسی ۱۰۰۰۰۰ منطقه‌ی اشتهراد

شبکه‌ی عصبی مصنوعی

روش شبکه‌ی عصبی مصنوعی یک روش ریاضیاتی است که دارای مجموعه‌ی به هم پیوسته‌ای از عناصر پردازش شده است. شبکه‌ی عصبی مصنوعی متعارف دارای سه لایه است. بسیاری از کارهای تئوری و آزمایشگاهی نشان داده‌اند که یک لایه‌ی پنهان منفرد برای این روش کافی است تا بتواند هر پدیده‌ی غیرخطی را تخمین بزند (Cybenko, 1989; Jalili-Ghazizadeh and Noori, 2008; Noori et al., 2009c). زیرا سلول‌های میانی به طور مستقیم نمی‌توانند به سلول‌های خروجی متصل شوند. در این مطالعه از یک مدل بر اساس یک شبکه‌ی عصبی پیشرو با یک لایه‌ی پنهان منفرد استفاده شده است.

انتخاب پیشرو

زمانی که تعداد متغیرهای کمکی (N) کم باشد، می‌توان با محاسبه‌ی یک معیار منطقی (RMS)، مدل پیش‌بینی را به دست آور. همچنان که تعداد متغیرها افزایش می‌یابد، محاسبات نیز خیلی سریع افزایش می‌یابد. به همین دلیل است که استفاده از الگوریتم‌های گام به گام مانند انتخاب پیشرو متداول است. روش انتخاب پیشرو به منظور مدل‌سازی بسیار قوی به طور موفقیت آمیز توسط بسیاری از محققین استفاده شده است (Wang et al., 2006; Chen et al., 2004; Eksioglu et al., 2005; Khan et al., 2007). در این روش، که بر اساس مدل رگرسیون خطی است، گام اول مرتب‌سازی متغیرهای مستقل بر طبق همبستگی‌شان با متغیر وابسته است. متغیر مستقلی که بهترین همبستگی را با متغیر وابسته داشته باشد به عنوان اولین خروجی انتخاب می‌شود. دیگر متغیرها نیز یکی بر حسب ضریب همبستگی‌شان با متغیر وابسته وروی اضافه می‌شوند. این مرحله ۱-۱بار به منظور تخمین اثر هر متغیر بر روی مدل خروجی تکرار می‌شود. سرانجام از میان N متغیر مجموعه‌ی داده‌ی به دست آمده، مجموعه داده‌ی با R^2 بهینه به عنوان زیرمجموعه‌ی خروجی انتخاب شده است.

بحث و نتایج انتخاب ورودی

روش انتخاب پیشرو

در این مطالعه، روش انتخاب پیشرو به عنوان تکنیک انتخاب ورودی خطی به منظور انتخاب بهترین زیرمجموعه‌ی از ۴۵ متغیر ورودی استفاده شد. به عبارت دیگر، یک مدل خطی با استفاده از بهترین ضریب همبستگی زیرمجموعه‌ی از ورودی‌ها توسعه داده شد. اولاً همبستگی بین هر متغیر ورودی و خروجی مورد نظر تخمین زده شد. دوماً متغیر با بالاترین ضریب همبستگی یعنی مقدار سدیم برای لانتانیوم ($R^2=0.87$) و اورانیوم برای سریوم ($R^2=0.86$) به عنوان اولین و مهم‌ترین ورودی انتخاب شد. سپس متغیرهای باقیمانده یکی یکی به داخل مدل فراخوانده شدند و متغیر جدیدی که بهترین مدل‌سازی را نتیجه می‌دهد به عنوان

خرودی جدید انتخاب شد و به متغیر قبلی انتخاب شده اضافه شد.

برای ارزیابی بهترین مدل‌سازی از ضریب همبستگی استفاده شد. این مرحله چندین بار تکرار شد تا زمانی که اضافه کردن متغیر جدید به ورودی‌ها اثر قابل توجهی بر روی بهبود مدل خروجی نداشته باشد. به عبارت دیگر افزایش در میزان R^2 بیش از ۵٪ نداشته باشد. متغیر جدید اضافه می‌شود. در نهایت، متغیرهای خروجی از ۲۳ متغیر انتخاب شده و دیگر متغیرها حذف می‌شوند. نتایج روش انتخاب پیشرو نشان داده است که ۲۳ متغیر ورودی برای سریوم (قلع، آلمینیوم، آرسنیک، بریلیوم، کادمیوم، کیالت، سریوم، مس، آهن، جیوه، پتانسیم، لانتانیوم، مولیبدن، نیکل، سرب، روپیدیم، اسکاندیم، استراتسیم، تلوریم، تالیم، اورانیوم، وانادیم و ایتریوم) و ۲۳ متغیر ورودی هم برای لانتانیوم (مختفات آ، نقره، آرسنیک، باریم، بریلیوم، کادمیوم، سریوم، سریوم، آهن، جیوه، مولیبدن، سدیم، نیوبیوم، سرب، گوکرد، انتیموان، اسکاندیوم، تلوریم، توریوم، اورانیوم، تنگستن، زیرکونیوم) بر طبق اهمیت‌شان به عنوان متغیرهای خروجی انتخاب شده است. به عبارت دیگر این ۲۳ عنصر دارای بیشترین تأثیر بر روی مدل پیش‌بینی میزان عناصر لانتانیوم و سریوم موجود در منطقه‌ی مورد مطالعه است.

مقادیر ضریب همبستگی مدل انتخاب پیشرو برای مدل پیش‌بینی مقادیر لانتانیوم و سریوم برای بالاتر از مقادیر حاصل از مدل شبکه‌ی عصبی مصنوعی است (جدول ۱ و ۲). بنابراین، در این پژوهش، مدل انتخاب پیشرو به عنوان بهترین مدل برای پیش‌بینی مقادیر لانتانیوم و سریوم در منطقه‌ی مورد مطالعه انتخاب شد.

نتایج

با توجه به اهمیت مقادیر عناصر نادر خاکی از جمله لانتانیوم و سریوم، این پژوهش سعی در توسعه‌ی مدلی برای پیش‌بینی صحیح این عناصر در منطقه‌ی اشتهراد با استفاده از مدل‌های شبکه‌ی عصبی مصنوعی و انتخاب پیشرو دارد. برای این منظور دو روش شبکه‌ی عصبی مصنوعی و انتخاب پیشرو برای شبکه‌ی سازی میزان عناصر نادر خاکی موجود در رسوبات آبراهه‌ای منطقه‌ی اشتهراد به کار گرفته شد. روش شبکه‌ی عصبی مصنوعی که یک روش پیشرفته است که در برآورد سیستم‌های دینامیک و غیرخطی موثر است. اخیراً استفاده از شبکه‌های عصبی مصنوعی و روش‌های آماری چند متغیره در موضوعات مهم زیستمحیطی مانند آلودگی خاکها و آب‌های سطحی به انواع مختلف عنصر سرمی رواج یافته است که در این مورد می‌توان به ارائه مدلی بر اساس شبکه‌ی عصبی برای شبیه‌سازی عناصر نادر خاکی پرداخت. به دلیل اینکه انتخاب ورودی مدل یک گام مهم در مدل‌سازی است، در این تحقیق روش انتخاب پیشرو استفاده شد و ۸ مدل توسعه داده شد و مناسب بودن مدل‌ها با استفاده از ضریب همبستگی برآورد گردید. سرانجام روش انتخاب پیشرو به عنوان بهترین مدل انتخاب شد. نتایج حاصل از این مطالعه به شرح زیر است:

- ۱- انتخاب ورودی توانایی پیش‌بینی مدل شبکه‌ی عصبی مصنوعی را بهبود می‌بخشد. به عبارت دیگر انتخاب صحیح ورودی نه تنها خطای خروجی را کاهش می‌دهد، بلکه زمان محاسبات را به دلیل کاهش تعداد متغیرهای ورودی کاهش می‌دهد.
- ۲- تعداد متغیرهای ورودی انتخاب شده با استفاده از روش انتخاب پیشرو ۲۳ برای لانتانیوم و ۲۳ برای سریوم است.
- ۳- با توجه به میزان ضریب همبستگی، روش انتخاب پیشرو بهترین مدل است و نسبت به روش شبکه‌ی عصبی مصنوعی ارجحیت دارد (جدول ۱ و ۲).

توسعه‌ی مدل شبکه‌ی عصبی مصنوعی

برای ارزیابی اثر انتخاب ورودی بر روی مدل شبکه‌ی عصبی مصنوعی، دو مدل توسعه داده شد. اولاً، مدل شبکه‌ی عصبی مصنوعی با استفاده از همه‌ی متغیرهای ورودی ۴۵ عنصر آنالیز شده توسعه داده شد. ثانیاً، متغیرهای ورودی حاصل از روش انتخاب پیشرو به عنوان ورودی شبکه‌ی عصبی مصنوعی در نظر گرفته شد، یعنی ۲۳ عنصر برای لانتانیوم و ۲۳ عنصر برای سریوم.

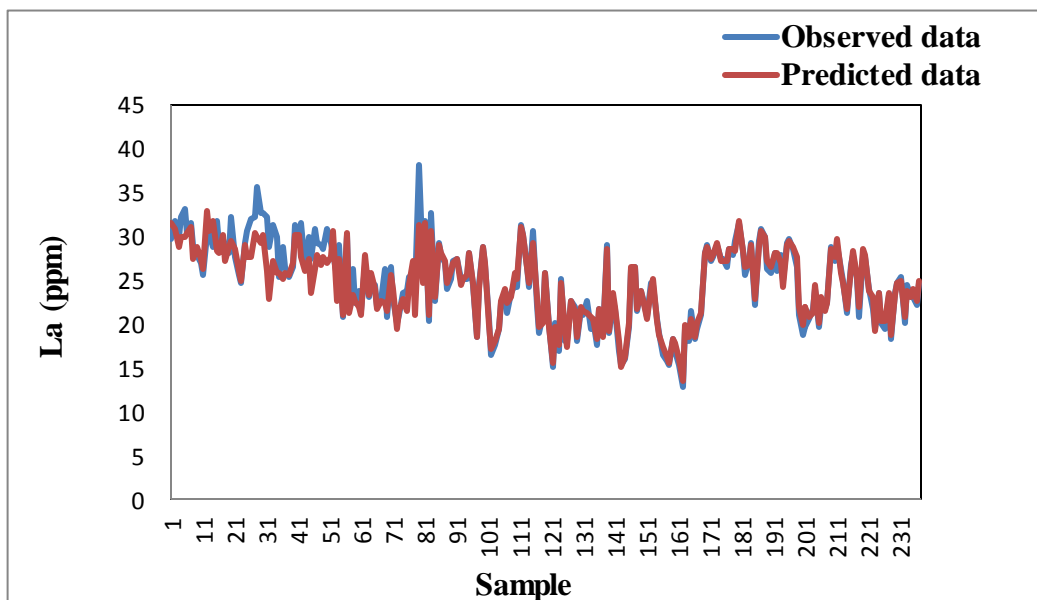
(جدول ۱ و ۲) نتایج کالیبراسیون و تست مدل را نشان می‌دهند. بر طبق این جداول، دقت همه‌ی مدل‌ها نسبتاً مشابه است، اما مدل انتخاب پیشرو بهتر است، زیرا مدل انتخاب پیشرو نه تنها دقت بالاتری دارد، بلکه تعداد ورودی کمتری هم دارد. از میان این دو مدل، مدل انتخاب پیشرو به دلیل تعداد ورودی کمتر به عنوان بهترین مدل انتخاب شد. برای محاسبه‌ی میزان لانتانیوم و سریوم در منطقه‌ی مورد مطالعه، یک کد عددی در نرم‌افزار (MATLAB) توسعه داده شد. بنابراین، مدل‌های شبکه‌ی عصبی مصنوعی و انتخاب پیشرو از داده‌های حاصل از نمونه‌برداری در منطقه به دست آمده است. نتیجه‌ی این مدل‌ها نشان داد که مقادیر لانتانیوم و سریوم پیش‌بینی شده در حین مراحل تست و کالیبراسیون توسط تخمین فواصل اطمینان نتایج شبیه‌سازی کمی شده‌اند. نتیجه حاصل از مدل‌سازی مقادیر لانتانیوم و سریوم برای مدل شبکه‌ی عصبی مصنوعی در مرحله‌ی کالیبراسیون در (شکل‌های ۲ و ۳ و ۴) به ترتیب نشان داده شده است. هم‌چنین نتایج حاصل از مدل‌سازی مقادیر لانتانیوم و سریوم برای مدل شبکه‌ی عصبی مصنوعی در مرحله‌ی تست در (شکل‌های ۳ و ۵) به ترتیب نشان داده شده است. نتایج مدل انتخاب پیشرو در مراحل کالیبراسیون و تست برای لانتانیوم و سریوم در (شکل‌های ۶، ۷، ۸ و ۹) نشان داده شده است. با توجه به نتایج حاصل از مدل‌سازی شبکه‌ی عصبی مصنوعی و انتخاب پیشرو (شکل‌های ۲، ۴، ۶ و ۸) بدیهی است که در مرحله‌ی کالیبراسیون، هر دو مدل روند کاهش و افزایش در مقادیر لانتانیوم و سریوم را پیش‌بینی می‌کنند. یک روند مشابه نیز در مرحله‌ی تست (شکل‌های ۳، ۵، ۷ و ۹) مشاهده شده است. با توجه به مقادیر ضریب همبستگی، هر دو مدل (شبکه‌ی عصبی مصنوعی و انتخاب پیشرو) در پیش‌بینی مقادیر لانتانیوم و سریوم قابل قبول هستند؛ اگرچه مدل انتخاب پیشرو بهتر است. زیرا

جدول ۱. نتایج کالیبراسیون و تست مدل‌های شبکه‌ی عصبی مصنوعی و انتخاب پیشرو برای لانتانیوم

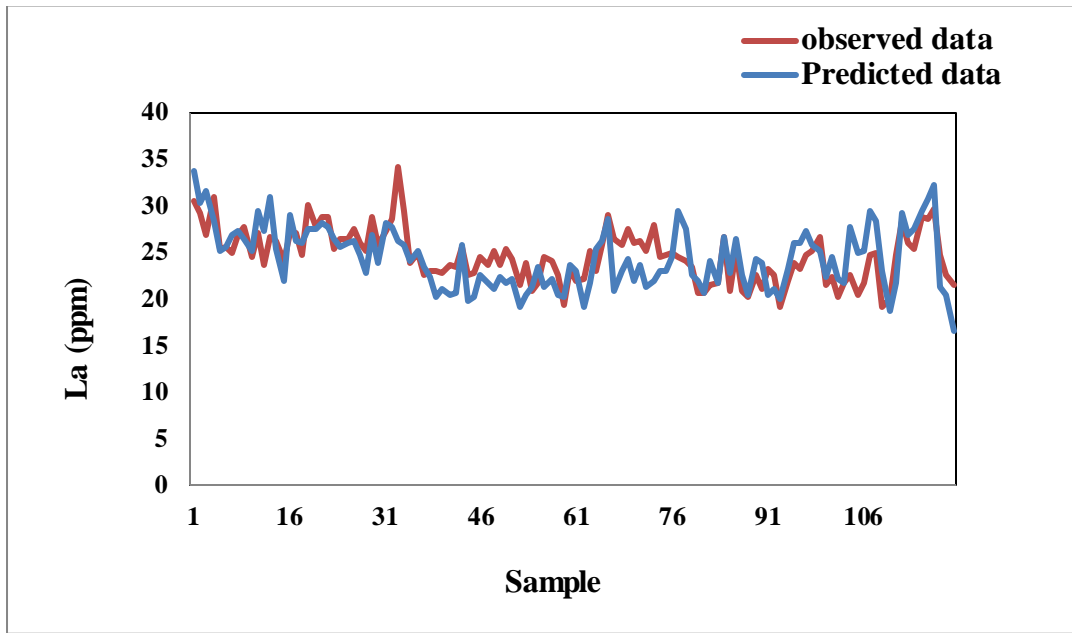
مدل	تعداد متغیرهای ورودی	کالیبراسیون R^2	تست R^2
روش شبکه‌ی عصبی مصنوعی	۴۵	۰/۴۴	۰/۹۰
روش انتخاب پیشرو	۲۳	۰/۹۸	۰/۹۶

جدول ۲. نتایج کالیبراسیون و تست مدل‌های شبکه‌ی عصبی مصنوعی و انتخاب پیشرو برای سریوم

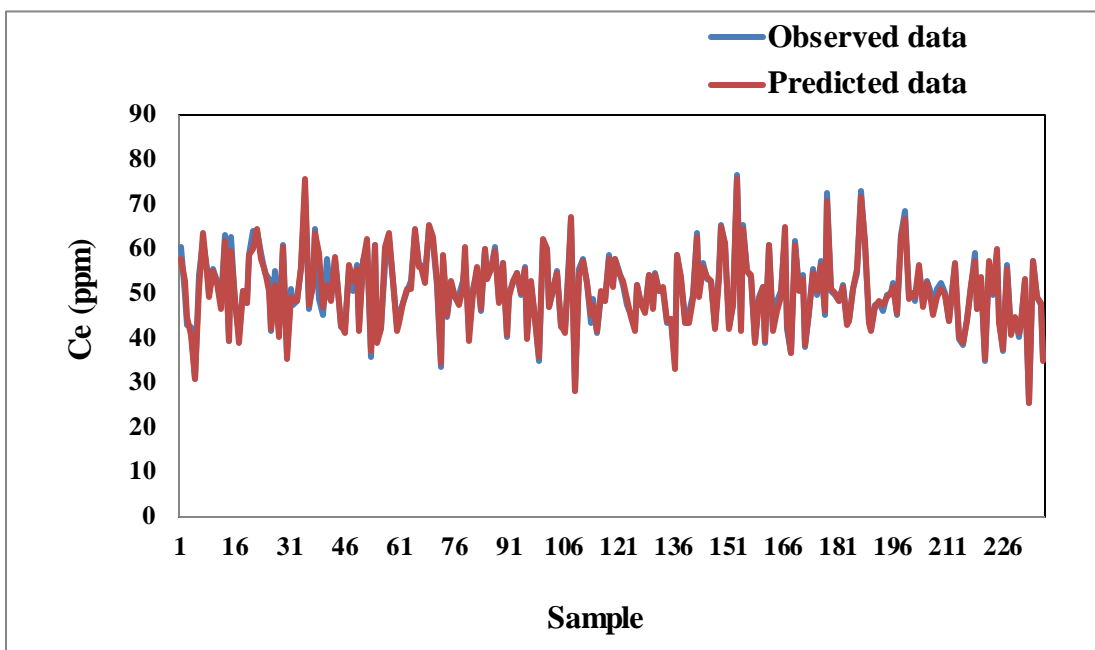
مدل	تعداد متغیرهای ورودی	کالیبراسیون R^2	تست R^2
روش شبکه‌ی عصبی مصنوعی	۴۵	۰/۹۷	۰/۹۶
روش انتخاب پیشرو	۲۳	۰/۹۷	۰/۹۸



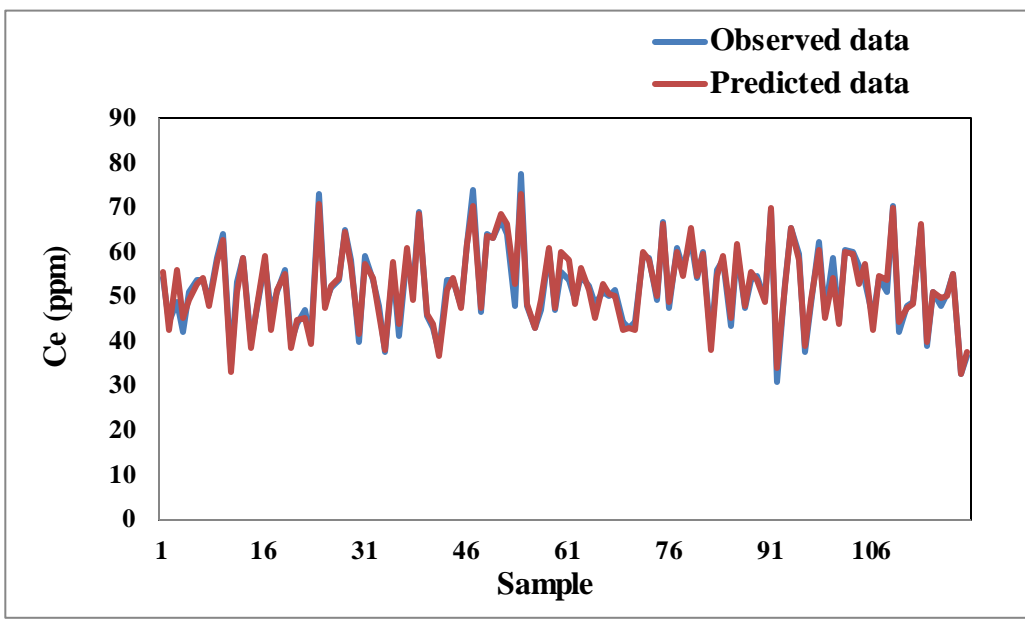
شکل ۲. نتیجه‌ی حاصل از مدل‌سازی برای تعیین مقدار لانتانیوم در مرحله‌ی کالیبراسیون با استفاده از مدل شبکه‌ی عصبی مصنوعی



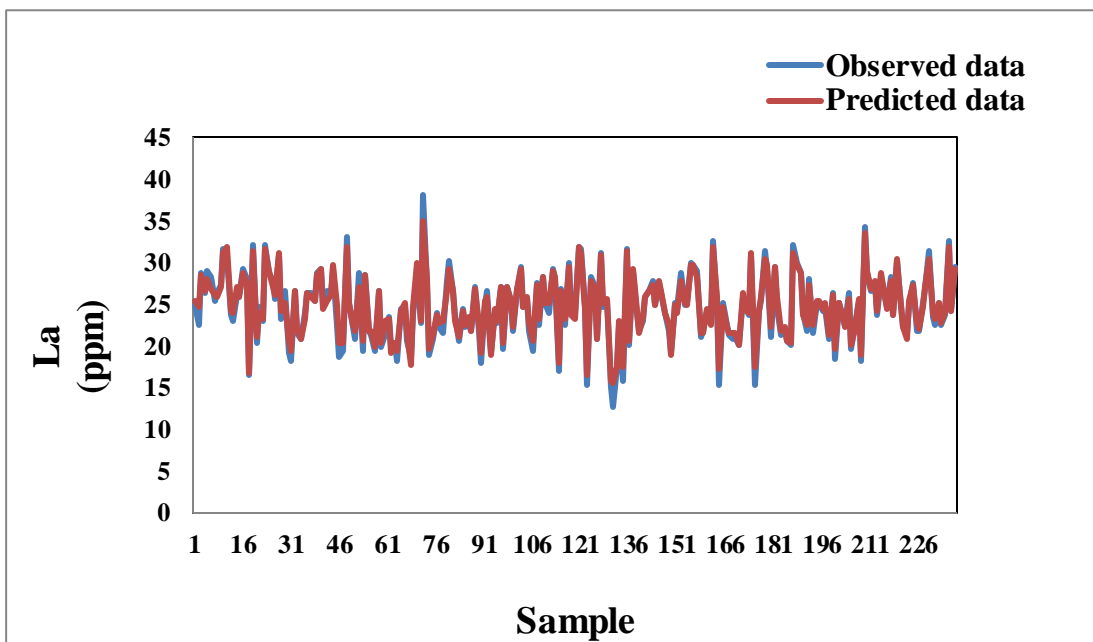
شکل ۳. نتیجه‌ی حاصل از مدل‌سازی برای تعیین مقدار لانتانیوم در مرحله‌ی تست با استفاده از مدل شبکه‌ی عصبی مصنوعی



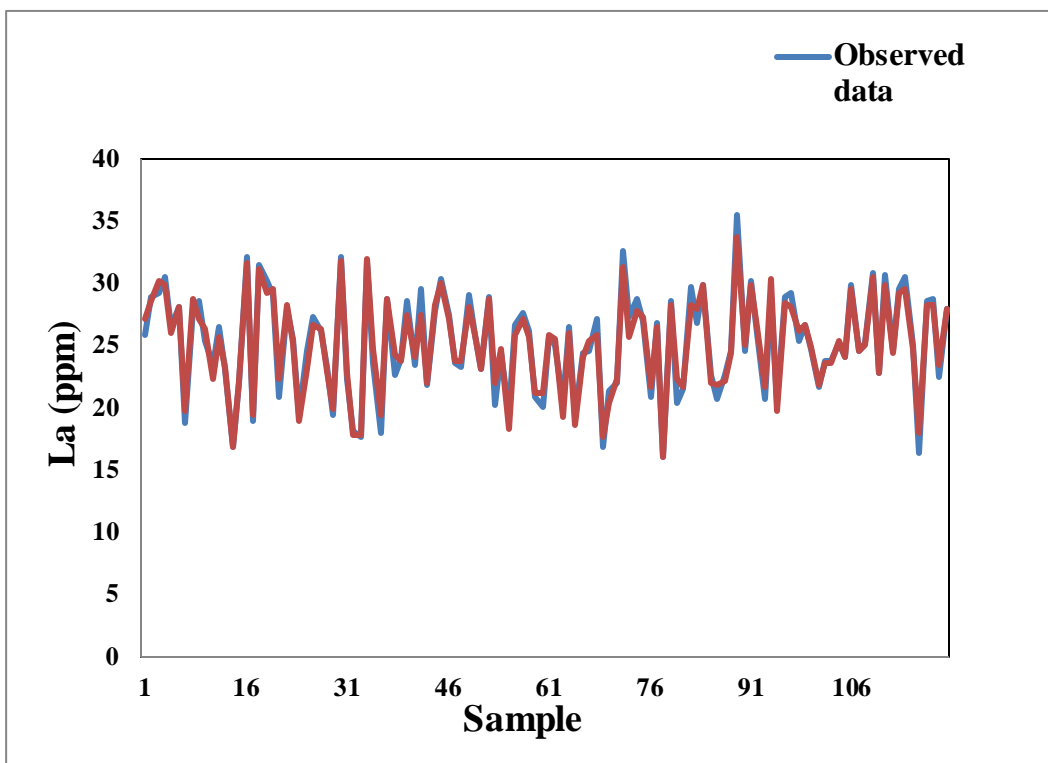
شکل ۴. نتیجه‌ی حاصل از مدل‌سازی برای تعیین مقدار سریوم در مرحله‌ی کالیبراسیون با استفاده از مدل شبکه‌ی عصبی مصنوعی



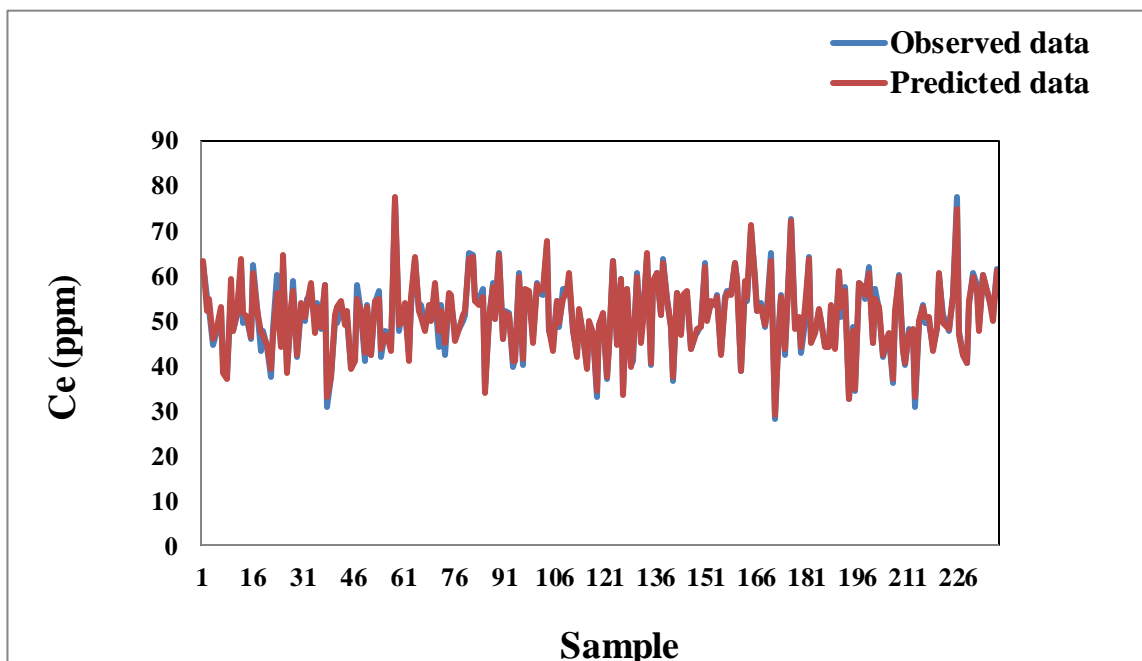
شکل ۵. نتیجه‌ی حاصل از مدل‌سازی برای تعیین مقدار سریوم در مرحله‌ی تست با استفاده از مدل شبکه‌ی عصبی مصنوعی



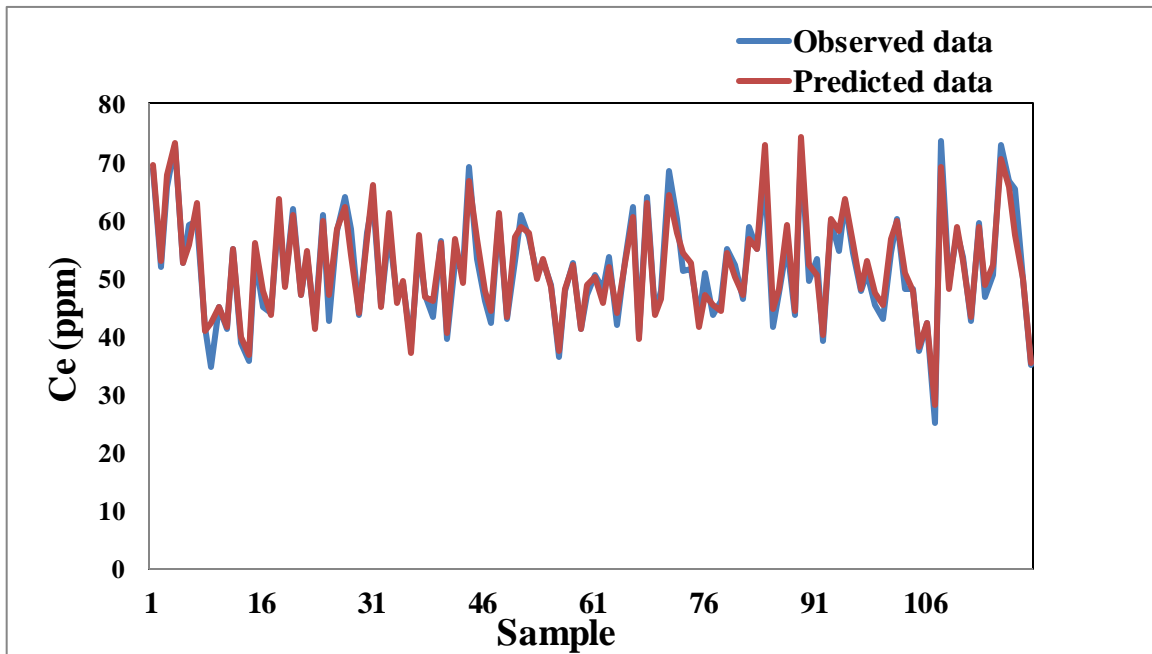
شکل ۶. نتایج حاصل از مدل‌سازی برای تخمین میزان لانتانیوم در مرحله‌ی کالیبراسیون با استفاده از مدل انتخاب پیشرو



شکل ۷. نتایج حاصل از مدل‌سازی برای تخمین میزان لانتانیوم در مرحله‌ی تست با استفاده از مدل انتخاب پیشرو



شکل ۸ نتایج حاصل از مدل سازی برای تخمین میزان سریوم در مرحله‌ی کالیبراسیون با استفاده از مدل انتخاب پیشرو



شکل ۹. نتایج حاصل از مدل سازی برای تخمین میزان سریوم در مرحله‌ی تست با استفاده از مدل انتخاب پیشرو

- Chen, S., Billings, S.A., Luo, W., 1989. Orthogonal least squares methods and their application to nonlinear system identification. *International Journal of Control* 50, 1873e1896.
- Chen, S., Hong, X., Harris, C.J., Sharkey, P.M., 2004. Sparse modeling using orthogonal forward regression with PRESS statistic and regularization. *IEEE Transactions on Systems, Man, and Cybernetics e Part B* 34, 898e911.
- Corcoran, J., Wilson, I., Ware, J., 2003. Predicting the geo-temporal variation of crime and disorder. *International Journal of Forecasting* 19, 623e634.
- Cybenko, G., 1989. Approximation by superposition of a sigmoidal function. *Mathematics of Control, Signals, and Systems* 2, 303e314.
- Eksioglu, B., Demirer, R., Capar, I., 2005. Subset selection in multiple linear regression: a new mathematical programming approach. *Computers & Industrial Engineering* 49, 155e167.
- Jalili-Ghazizadeh, M., Noori, R., 2008. Prediction of municipal solid waste generation by use of artificial neural network: a case study of Mashhad. *International Journal of Environmental Research* 2, 13e22.
- Khan, J.A., Aelst, S.V., Zamar, R.H., 2007. Building a robust linear model with forward selection and stepwise procedures. *Computational Statistics & Data Analysis* 52, 239e248.
- Moghaddamnia, A., Ghafari-Gousheh, M., Piri, J., Amini, S., Han, D., 2009. Evaporation estimation using artificial neural networks and adaptive neuro-fuzzy inference system techniques. *Advances in Water Resources* 23, 88e97.
- Noori, R., Abdoli, M.A., Ameri, A., Jalili-Ghazizadeh, M., 2009a. Prediction of municipal solid waste generation with combination of support vector machine and principal component analysis: a case study of Mashhad. *Environmental Progress & Sustainable Energy* 28, 249e258.
- Noori, R., Abdoli, M.A., Jalili-Ghazizadeh, M., Samifard, R., 2009c. Comparison of ANN and PCA based multivariate linear regression applied to predict the weekly municipal solid waste generation in Tehran. *Iranian Journal of Public Health* 38, 74e84.
- Nunnari, G., Dorling, S., Schlink, U., Cawley, G., Foxall, R., Chatterton, T., 2004. Modelling SO₂ concentration at a point with statistical approaches. *Environmental Modelling & Software* 19, 887e905.
- Perez-Roaa, R., Castroa, J., Jorqueraa, H., Perez-Correaa, J.R., Vesovic, V., 2006. Air pollution modeling in an urban area: correlating turbulent diffusion coefficients by means of an artificial neural network approach. *Atmospheric Environment* 40, 109e125.
- Seasholtz, M.B., Kowalski, B., 1993. The parsimony principle applied to multivariate calibration. *Analytica Chimica Acta* 277, 165e177.
- Wang, X.X., Chen, S., Lowe, D., Harris, C.J., 2006. Sparse support vector regression based on orthogonal forward selection for the generalised kernel model. *Neurocomputing* 70, 462e474.